

# 전화망을 통한 핵심어 검출 시스템에서의 채널왜곡 보상방법의 성능비교

이 교혁, 김 형순  
 부산대학교 전자공학과

## Performance Comparison of Channel Distortion Compensation Techniques in Keyword Spotting System over the Telephone Network

Kyo Hyuk Lee, Hyung Soon Kim  
 Pusan National University, Dept. of Electronics Engineering

### 요약

본 논문에서는 핵심어 검출(keyword spotting) 시스템에서의 채널 왜곡에 대한 보상방법들의 성능을 비교하였다. 훈련용 음성과 인식용 음성(음성)은 서로 다른 환경에서 수집되었으나, 특별한 인식방법을 음성인식을 위한 음성 데이터로 이용하였다. 전화망을 통한 음성인식에서는 채널왜곡과 배경잡음에 의해서 음성신호가 왜곡이 생기므로 어음에 대한 적절한 보상이 필요하다. 본 논문에서는 채널 왜곡 보상을 위한 처리 방법으로서 널리 사용되고 있는 global cepstral mean subtraction(GCMS), local cepstral mean subtraction(LCMS) 그리고 RASTA processing 을 적용하였다. 그리고 인식성능의 개선을 위해 이 들 방법을 likelihood ratio scoring 에 의한 후처리 과정을 적용하였다. 인식실험 결과 이들 방법 모두 채널왜곡 보상을 하지 않았을 경우와 비교하여 더 높은 인식성능을 얻을 수 있었으며, 그 중 후처리를 적용한 LCMS 방법이 가장 우수한 성능을 나타내었다.

### 1. 서론

전화망을 통한 음성인식은 음성인식의 매우 중요한 응용분야 중 하나이다. 그러나, 전화망을 통한 음성인식은 연구실 환경에서의 고 품질 음성의 인식에서는 고려할 필요가 없었던 많은 문제점들을 지닌다. 그 대표적인 예로 채널대역폭 제한 및 handset 마이크로폰 특성에 의한 왜곡과 배경잡음의 증가 등을 들 수 있다. 따라서, 전화망을 통한 음성인식의 성능향상을 위해서는 채널왜곡과 배경잡음에 대한 효과적인 보상방법이 필수적으로 요구된다.

일반적으로 전화망에 의한 채널왜곡은 음성신호를 linear filtering 하는 것으로 모델링할 수 있다. 이 때 filter가 time-invariant 라고 가정한다면 채널왜곡은 음성의 cepstrum 에 bias 를 가해주는 것으로 해석될 수 있다. 따라서 이러한 bias 를 제거해 줌으로써 인식성능의 향상을 기대할 수 있다. 이러한 채널왜곡 보상 방법으로는 global cepstral mean subtraction(GCMS), local cepstral mean subtraction(LCMS)[10], cepstral bias removal(CBR)[6], codeword-dependent cepstral normalization(CDCN)[8], RASTA(Relative SpecTra) 처리[4] 등이 있다. 이들 방법 중에서 GCMS, LCMS 및 RASTA 처리 방법이 계산량에 비해 우수한 성능을 나타내는 것으로 알려져 있다.

본 논문에서는 음소 HMM에 의한 핵심어 검출 시스템을 구성하고, 이를 전화망을 통한 음성인식에 적용하였다. 전화망을 통한 음성인식을 위해서는 훈련용 음성 데이터도 전화망을 통해 수집하는 것이 바람직하다. 그러나 본 논문에서는 이미 구성된 고품질의 음성 데이터 데이터를 전화망 음성인식을 위한 훈련용으로 사용할 수 있는가 여부를 확인하기 위해 훈련용 데이터만 clean speech 를 그대로 사용하였으며, 인식 실험용 데이터는 Dialogic 사의 D41D VMS board 를 이용해서 전화망을 통해 수집된 데이터를 사용하였다.

채널왜곡 보상을 위한 처리방법으로는 GCMS, LCMS 와 RASTA 처리방법을 사용하였으며, 이들 방법 중 LCMS 방법이 가장 우수한 성능을 나타내었다.

### 2. Baseline 핵심어 검출 시스템

본 논문에서 사용한 핵심어 검출 시스템의 전체 구성도를 그림 1 에 나타내었다. 먼저 입력음성이 들어오면 음성특징 파라미터를 추출하여 훈련에 의해 만들어진 핵심어 모델, 비핵심어 모델 그리고 묵음 모델을 이용하여 Viterbi decoding 과정을 통해 핵심어를 검출한다. 본 논문에서는 음성특징 파라미터로 12차의 LPC 계수뿐만 아니라 12차 이하 계수뿐만 아니라 사용하였다.

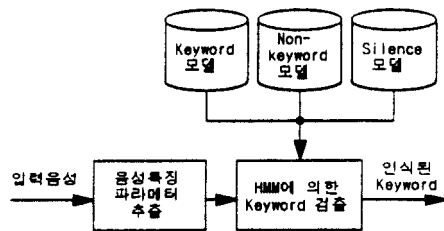


그림 1 핵심어 검출 시스템의 구성도

### 2.1 음소 HMM 모델

본 논문에서는 한국어에 대해 총 45개의 문맥 독립형(context-independent) 유사음소를 정의하고 이를 기준으로 triphone 모델을 구

성하였으며, 이 triphone 모델을 발음사전에 따라 연결하여 핵심어 모델을 구성하였다. 본 논문에서 사용한 음소 HMM 모델의 topology는 그림 2와 같다. 음소 HMM 모델은 3개의 state와 8개의 transition을 가지며 transition에서 관찰변수가 출력되는 구조를 가진다. 관찰 확률분포는 그림에서 보는 바와 같이 B, M, E의 3가지 분포로 lying되어 있다.

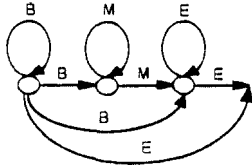


그림 2. 음소 HMM 구조

## 2.2 비핵심어 및 묵음 모델

핵심어 검색 시스템에서는 핵심어가 아닌 부분을 표현해 주기 위해 filler 모델, 즉 비핵심어 모델과 묵음 모델을 사용한다. 이러한 filler 모델을 어떻게 구성하는가에 따라 시스템의 인식성능은 크게 달라진다. Filler 모델로는 핵심어 부분을 검색하지 않으면서 핵심어가 아닌 부분을 어느정도 표현해 줄 수 있는 모델이 필요하다[1].

본 논문에서 비핵심어 모델을 선택하기 위한 방법으로 통계적 방법에 의한 monophone clustering 방법을 사용하였다[5]. 먼저 45개의 monophone를 구성된 워 버들을 통계적 방법에 의해 clustering하여 6개의 비핵심어 모델을 구성하였다. Monophone clustering을 위한 distance measure는 다음과 같다.

$$D(p_i, p_j) = \sum_{k=1}^L D_k(p_i, p_j) \quad (1)$$

여기서  $p_i, p_j$ 는 각각  $i$ 와  $j$ 번째 음소를 나타내고,  $k$ 은 음소 모델의 distribution 수를 나타내며,  $D_k(p_i, p_j)$ 는 두 음소의  $k$  distribution 간의 distance로서 다음 식과 같이 주어진다.

$$D_k(p_i, p_j) = \frac{1}{V} \sum_{l=1}^L \frac{(\mu_{i,kl} - \mu_{j,kl})^2}{\sigma_{i,kl} + \sigma_{j,kl}} \quad (2)$$

여기서  $V$ 는 관찰 벡터의 차수를 나타내고,  $\mu_{i,kl}$ 와  $\sigma_{i,kl}^2$ 는 각각  $i$ 번째 음소의  $l$ 번째 distribution의 평균과 분산을 의미한다.

본 논문에서의 묵음 모델로는 10개의 state를 가지는 단일 모델을 사용하였다.

## 2.3 핵심어 검색을 위한 전체 HMM network 구조

핵심어 검색을 위한 전체 network는 핵심어 모델, 비핵심어 모델, 묵음 모델들을 사용하는 연결어인의 알고리즘을 기반으로 하고 있다.

일반적으로 한 문장 내에는 임의의 핵심어 경우가 될 수 있으므로 null grammar 형태가 가능하지만, 본 논문에서는 입력음성에 1개의 핵심어가 존재한다는 가정하에 그림 3과 같은 문법 구조를 가지

는 network를 구성하였다.

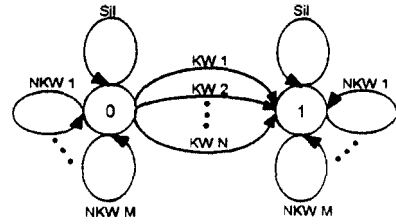


그림 3. 핵심어 검색을 위한 전체 HMM network

## 3. 채널외곽 보상을 위한 방법

서론에서 언급하였듯이 일단 연결된 전화회선의 채널외곽은 linear time invariant filter로 모델링할 수 있다. 따라서 이러한 filter의 영역은 cepstral domain에서 살펴볼 때 모델의 bias를 가해주는 것으로 해석된다.

$$\vec{z} = \vec{x} + \vec{h} \quad (3)$$

여기서  $\vec{z}$ 는 관찰벡터,  $\vec{h}$ 는 channel filter의 cepstral 벡터, 그리고  $\vec{x}$ 는 입력음성의 cepstral 벡터이다.

### 3.1 Global Cepstral Mean Subtraction(GCMS)

Global cepstral mean subtraction의 목적은 식(3)에서 bias 항목으로 나타나는  $\vec{h}$ 를 관찰벡터로부터 제거하는 것이다. 관찰벡터  $\vec{z}_{i=1}^T$ 에서 평균벡터는 다음과 같다.

$$\vec{m} = \frac{1}{T} \sum_{i=1}^T \vec{z}_i \quad (4)$$

그리고 채널외곽이 보상된 벡터는 다음과 같이 표현된다.

$$\vec{z}_i^{comp} = \vec{z}_i - \vec{m} \quad (5)$$

이와 같이 채널외곽이 보상된 벡터는 channel에 의한 bias에 영향을 받지 않는다. 그러나, CMS에 의한 보상방법은 channel bias뿐만 아니라 입력음성 특징벡터의 평균까지도 함께 제거한다. CMS방법은 입력음성 특징벡터의 평균제거에 의한 문제점보다는 채널외곽에 의한 bias 제거의 긍정적 효과가 인식율에 미치는 영향이 더 크다는 것을 가정하고 있다. CMS 방법은 입력음성 전체에 대한 평균벡터를 구해야 하기 때문에 실시간 처리가 곤란하다는 단점을 지닌다.

### 3.2 Local Cepstral Mean Subtraction (LCMS)

Local cepstral mean subtraction 역시 global cepstral mean subtraction과 마찬가지로 식(3)에서 bias 항목으로 나타나는  $\vec{h}$ 를 관찰벡터로부터 제거하는 것을 목적으로 한다. GCMS에서는 bias를 관찰벡터 전체에 대한 평균을 bias로 정의하였으나 LCMS 방법에서

는 moving cepstral average 를 평균벡터로 취한다. 관측벡터  $\vec{z}_{(t)}$  에  
서 moving cepstral average 는 다음과 같다

$$\vec{m}_t = \frac{1}{T_t} \sum_{r=0}^{T_t-1} \vec{z}_{t-r} \quad T_t < T \quad (6)$$

그리고 채널왜곡이 보상된 벡터는 다음과 같이 표현된다

$$\vec{z}_{(t)}^{comp} = \vec{z}_{(t)} - \vec{m}_t \quad (7)$$

LCMS 방법은 moving average 를 취하기 때문에, channel distortion  
이 고정되어 있지 않고 변한다면 그 영향을 제거해 줄 수 있다.  
LCMS 방법 역시 channel bias 와 함께 입력음성 특성벡터의 평균을  
제거한다. 그러나 Local CMS 는 CMS 와는 달리 실시간 처리가 가능  
하다.

### 3.3. RASTA (ReAlIve SpecTRAl) processing

전화망에 의한 채널왜곡 보정은 대역폭 스펙트럼 특성이 고정되  
어 있거나 변한다고 하더라도 음성신호의 변화 특성에 대해서 잔잔  
히 변화한다. 그리고 전화망은 무시되는 배경잡음도 음성신호의 스펙  
트럼 특성에 대해 잔잔히 변화하거나 급격히 변화한다고 가정할  
수 있다. RASTA 처리는 이와 같이 음성신호의 특성변화에 비해 매우  
잔잔히, 또는 매우 빠르게 변화하는 채널왜곡 및 부가잡음의 영향을  
제거하는 목적으로 입력특성 벡터들을 그림 4와 같은 크라우스  
특성을 가지는 bandpass filter 로 filtering 하는 방법이다[4]

RASTA filter 의 transfer function 은 다음과 같다

$$H(z) = 0.1z^{-1} \frac{z^2 - 1.98z + 0.98}{1 - 0.98z^{-1}} \quad (8)$$

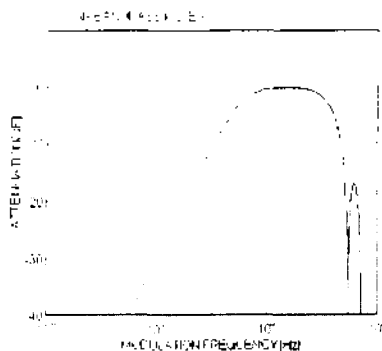


그림 4 RASTA filter 의 주파수 특성

RASTA 처리는 CMS 방법에 비해 실시간 처리에 유리하다

### 4. Likelihood Ratio Scoring 에 의한 후처리

후처리 과정은 핵심어검출 시스템에서의 오류를 감소시켜 그 성  
능을 보다 향상시키기 위한 것으로서, 이미 구해진 핵심어 후보들의

신뢰도를 판단하여 잘못된 검출된 후보(false alarm)들을 효율적으로 제  
거하는 데에 주안점을 두고 있다.

이러한 후처리 방법들로는 신경최소망을 이용하는 방법, 음성  
segment 모델을 이용하는 방법, 변별적 훈련과정을 사용하는 방법  
그리고 likelihood ratio 약간의 방법 등이 있다. 후처리를 위한 여러  
방법들 중 본 논문에서는 likelihood ratio 에 의한 후처리를 수행하였  
다[9]. Likelihood ratio test 는 핵심어 및 filler 모델의 likelihood 벡터 이  
용하는 방법으로서, 그림 5에 도시된 바와 같이 두 가지의 HMM  
network 을 병렬로 사용한다. 그 중 첫번째는 2장에서 설명한 핵심어  
및 filler network 으로서 그림 3에서 표현된 것과 같으며, 두번째는 핵  
심어 모델없이 filler 모델로만 구성된 network 이다. 핵심어 및 filler  
network 이 일련 모작으로부터 핵심어 후보를 검출해 내고 동시에 이  
핵심어에 해당하는 음성구간에 대한 정보를 filler 모델만으로 구성된  
network 에 넘겨주면, 이 network 은 해당 구간에서의 filler 모델의  
likelihood 값을 계산한다. 그 다음 앞서 핵심어 및 filler network 에서  
핵심어 검출시에 계산한 likelihood 값과 filler network 에서의 filler  
likelihood 값을 비교하여 그 비가 특정 임계치를 넘지 못하면 그 음  
성구간에서의 핵심어 검출의 신뢰도가 높지 못한 것으로 간주하여  
검출된 핵심어를 가각시린다. 그림 5에 likelihood ratio scoring 에 의  
한 후처리 과정을 나타내었다.

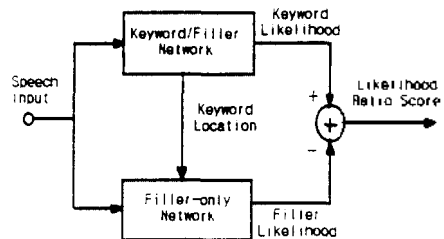


그림 5. Likelihood Ratio Scoring에 의한 후처리 과정

### 5. 데이터 베이스

전화망을 통한 핵심어 검출 시스템의 성능 평가를 위한 task  
domain 으로는 자동전화교환 서비스를 선정하였으며 총무과, 자산관  
리과, 회계과, 내지과, 설비과 그리고 서울사무소의 6개 부서영역을 인  
식대상 핵심어로 정하였다.

#### 5.1 훈련용 데이터 베이스[8]

핵심어 모델을 위한 훈련용 데이터 베이스는 표준어를 구사하는  
남성 35명이 6개의 부서영역을 고립 단어 형태로 각 1번씩 발음한  
clean speech 를 사용하였다. 이 데이터 베이스는 16KHz sampling,  
16bit linear PCM 으로 coding 되어 있으며, 이것을 telephone network 의  
sampling rate 에 맞추기 위해 8KHz 로 downsampling 하여 훈련에 사  
용하였다.

비핵심어 모델을 위한 데이터 베이스는 표준어를 쓰는 남성 22명  
이 음성학적으로 균형이 잡힌(phonetically balanced) 445 단어를 각 1  
회씩 발음한 clean speech 를 사용하였다. 이 데이터 역시 16KHz

sampling, 16bit linear PCM으로 coding되었던 것을 8KHz로 downsampling 하여 사용하였다.

## 5.2 인식용 데이터 베이스

인식용 데이터베이스는 부산 지방에 거주하는 남성 대학생 15명이 6개 부서명에 대해 고립 단어 및 문장 형태로 각 1번씩 발음한 것을 사용하였다. 이 데이터 베이스는 실험실 환경에서 전화기를 사용하여 국선 전화망(PSTN) 및 구내교환기를 거쳐 8KHz sampling, 8bit  $\mu$ -law PCM으로 녹음되었다. 이것을 다시 훈련용 데이터 베이스의 coding 방식에 맞추기 위해 16bit linear PCM으로 변환하였다. 음성 데이터 수집에는 Dialogic사의 D/41D VMS board를 이용하였으며, 전화망을 통한 음성 데이터 수집 경로를 그림 6에 나타내었다.

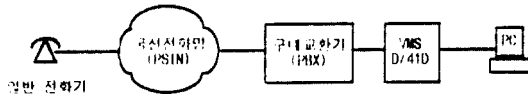


그림 6. 인식용 데이터 베이스의 수집 경로

## 6. 실험 결과 및 검토

훈련용 데이터의 녹음 상황과 같은 상황에서 녹음한 데이터에 대한 인식실험과 5.2절에서 설명한 전화망을 통한 데이터를 이용하여 global CMS(GCMS), local CMS(LCMS) 및 RASTA 방법을 적용한 인식 실험을 하였다. 훈련용 데이터의 녹음 상황과 같은 상황에서 녹음한 데이터는 훈련용 데이터 수집에 참가하지 않은 표준어를 구사하는 남성 15명이 6개의 부서명을 고립 단어 및 문장 형태로 각 1번씩 발음한 clean speech로 구성되어 있다. 실험에 대한 결과를 표 1에 나타내었다.

표 1. Clean speech 및 전화망을 통한 음성을 이용한 인식결과

	모상 방법	고립 단어	문장
Matched Condition	Baseline System	100%	92.00%
Mismatched Condition	No Processing	80.00%	54.44%
	RASTA	93.33%	66.67%
	GCMS	94.44%	76.67%
	LCMS( $T_L=150msec$ )	94.44%	86.67%
	LCMS( $T_L=300msec$ )	94.44%	83.33%
	LCMS( $T_L=500msec$ )	91.11%	71.11%

표 1에서 RASTA 처리, GCMS 방법 및 LCMS 방법을 적용함으로써 채널외국어에 대한 보상처리를 하지 않은 경우에 비해 성능이 크게 향상됨을 확인할 수 있다. 채널외국어 보상을 하지 않은 경우와 비교해 볼 때, 문장 형태의 경우 RASTA 처리방법, GCMS 방법에서의 오인식률이 각각 26.8% 및 48.9%만큼 감소되었으며, LCMS 방법에서 local length( $T_L$ )가 150msec, 300msec, 500msec의 경우 각각 70.7%, 63.4% 및 36.6%만큼의 오인식률 감소를 얻었다. 고립 단어 및 문장 형태 모두에 대해 전반적으로 RASTA 처리가 가장 뛰어난 성능을 나타내었

다. 고립 단어에서는 GCMS 방법과 LCMS 방법이 성능 차이를 나타내지 않으나, 문장 형태의 경우 LCMS 방법이 GCMS 방법에 비해 전반적으로 우수한 성능을 나타내고 있다. 이러한 결과는 문장 형태의 음성을 GCMS 방법으로 인식할 경우 훈련사 추정된 평균과 인식사 추정된 평균이 일치하지 않기 때문에 GCMS 방법의 핵심어 모델이 문장에 포함된 핵심어를 표현하기에는 부적절하기 때문이라고 판단된다. LCMS 방법의 경우 local length가 길어질 수록 인식률이 감소함을 볼 수 있는데, 이는 참고문헌 [10]의 결과와 일치한다. 표 1에서 채널외국어에 대한 보상 처리를 하지 않은 경우뿐만 아니라 GCMS, LCMS 방법 및 RASTA 처리를 하였을 경우에도 관청 차이(clean speech)와 전화망을 통한 음성)에 의한 인식 성능의 저하가 나타남을 알 수 있다. 이 결과는 GCMS, LCMS 방법 및 RASTA 처리 만으로는 훈련용 데이터와 인식용 데이터의 환경차이를 충분히 보상할 수 없음을 보여주는 것으로서, 여기에는 인식용 데이터에 상당한 크기의 배경잡음이 추가된 데에도 기인하는 바가 크다고 판단된다. 실제로 GCMS, LCMS 방법 및 RASTA 처리는 채널외국어의 보상에는 효과적이나 배경잡음의 제거에는 효과적이지 못하다.

전화망을 통한 인식용 데이터를 이용하여 GCMS, LCMS 및 RASTA 처리에 4절에서 설명한 후처리 과정을 적용시킨 결과를 표 2에 나타내었다. 후처리 과정에서는 전체 데이터 중 likelihood ratio가 낮은 것으로 약 8%를 기각하였다.

표 2. 전화망을 통한 음성을 이용한 후처리 결과 (후처리 과정을 통해 약 8%를 기각시킨 경우)

	고립 단어	문장
No Processing	80.00%	50.00%
RASTA	96.51%	72.15%
GCMS	94.38%	78.95%
LCMS( $T_L=150msec$ )	96.51%	86.08%
LCMS( $T_L=300msec$ )	96.51%	89.47%
LCMS( $T_L=500msec$ )	93.10%	75.64%

후처리를 하지 않았을 때와 비교하여 GCMS 방법, LCMS 방법 및 RASTA 처리의 경우 모두 추가적인 오인식률의 감소를 얻을 수 있었다. 특히 문장 형태의 경우 RASTA 처리방법, GCMS 방법에서 각각 12.18% 및 4.9% 그리고 LCMS 방법에서 local length( $T_L$ )가 30msec, 500msec의 경우 각각 13.5% 및 9.7%만큼의 추가적인 오인식률의 감소가 이루어졌다.

표 1, 2에서 가장 좋은 인식률을 보인 후처리를 적용한 LCMS 방법( $T_L=300msec$ )과 baseline system과의 인식률 차이는 고립 단어와 문장 형태에서 각각 4.49% 및 2.53%이다. 여기에는 인식용 데이터에 추가된 배경잡음에 의한 영향이 크게 작용한 것으로 판단된다. 이 결과는 미국적으로는 훈련용 데이터 베이스도 전화망을 통해 수집해야 하는 필요성을 보여준다.

훈련용 데이터는 표준어를 구사하는 화자에 의한 한국어 음성이므로 발음이 엄밀한데 비해, 인식용 데이터는 부산 지방의 방언을 쓰는 화자에 의해 대화체에 가깝게 자연스럽게 발음된 점도 인식 성능 저하의 한 요인으로 판단된다.

7. 결론

본 논문에서는 핵심어 검출(keyword spotting) 시스템에서의 채널 왜곡에 대한 보상방법들의 성능을 비교하였다. 훈련용 음성과 인식용 음성의 환경차이를 기존의 채널왜곡 보상방법이 얼마만큼 해결할 수 있는가를 확인하기 위해 훈련용 음성으로는 clean speech를 사용하고 인식용 음성만 잡화음을 곁들 수집하였다. 채널왜곡의 보상방법으로는 RASTA 처리, GCMS 방법 및 LCMS 방법을 적용하였다. 그리고 인식 성능의 개선을 위해 likelihood ratio scoring에 의한 후처리 과정을 적용하였다.

실험결과 문장형태의 경우 RASTA 처리방법, GCMS 방법에서의 오인식률이 각각 26.8% 및 48.9%만큼 감소되었으며, LCMS 방법에서 local length( $T_L$ )가 15msec, 30msec, 50msec의 경우 각각 70.7%, 63.4% 및 36.6%만큼의 오인식률 감소를 얻었다. 후처리 과정을 통해 후처리를 하지 않았을 때와 비교하여 GCMS 방법, LCMS 방법 및 RASTA 처리의 경우 모두 추가적인 오인식률의 감소를 얻을 수 있었다. 특히 문장형태의 경우 RASTA 처리방법, GCMS 방법에서 각각 12.18% 및 4.9% 그리고 LCMS 방법에서 local length( $T_L$ )가 300msec, 500msec의 경우 각각 13.5% 및 9.7%만큼의 추가적인 오인식률의 감소가 이루어진다. 가장 좋은 인식률을 보인 방법인 후처리를 적용한 LCMS 방법( $T_L=300msec$ )으로 고립단어와 문장형태에서 각각 95.51% 및 89.47%의 인식률을 나타내었다. 그러나 clean speech에 의한 인식결과와는 차이(고립단어와 문장형태에서 각각 4.49% 및 2.53%)를 보여 궁극적으로는 잡화음을 통한 훈련용 데이터 수집의 필요성을 입증해 주었다.

참고문헌

[1] 김 장순, "Keyword Spotting 기술", 한국통신학회지, 제 11 권 9 호, pp.57-65, 1994

[2] C. H. Lee and L. R. Rabner, "A Frame-Synchronous Network Search Algorithm for Connected Word Recognition", IEEE Trans. on ASSP, vol.37, no.11, pp.1649-1658, Nov. 1989.

[3] L. R. Rabner, "A Tutorial on Hidden Markov Models and Selected Applications in Speech Recognition", IEEE Trans. on ASSP, vol.37, no.6, pp.795-804, June 1990.

[4] H. Hermansky, "RASTA Processing of Speech", IEEE Trans. on Speech and Audio Processing, vol.2, no.4, Oct. 1994.

[5] 이 학범, 김 영준 외, "음성 HMM을 이용한 Keyword Spotting 시스템에서의 Non-Keyword 모델에 관한 연구", 제 12 회 음성통신 및 신호처리 워크샵, pp.83-87, 1995년 6월.

[6] M. G. Rahim and B. H. Juang, "Signal Bias Removal for Robust Telephone Based Speech Recognition in Adverse Environments," Proc. IEEE ICASSP, pp.445-448, 1994

[7] A. Acero, *Acoustical Environmental Robustness in Automatic Speech Recognition*, Kluwer Academic Publishers, Boston, 1992.

[8] 이 영직, 류 준영, 김 상훈, 황 규용, "ETRI의 음성 데이터 베이스 구축 현황," 제 12 회 음성통신 및 신호처리 워크샵 논문집, pp.265-267, 1995년 6월.

[9] R. C. Rose and D. B. Paul, "A hidden Markov model based keyword recognition system," in Proc. IEEE ICASSP, pp.129-132, 1990.

[10] A. E. Rosenberg, C. H. Lee and F. K. Soong, "Cepstral Channel Normalization Techniques for HMM-Based Speaker Verification," Proc. IEEE ICSP, pp.1835-1838, 1994.